

Quelques modèles probabilistes en biologie moléculaire

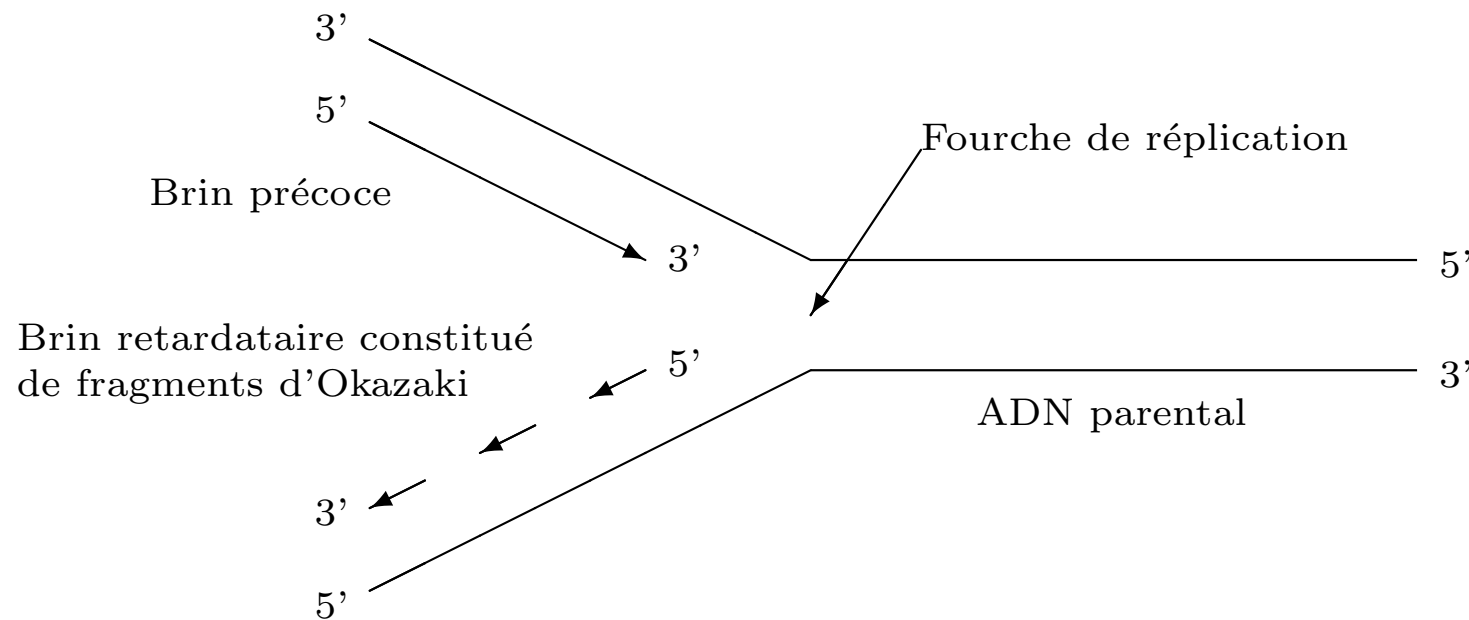
Aimé LACHAL

- 1. RéPLICATION des ADN**
- 2. Phylogénie**
- 3. Séquences biologiques**

1 RéPLICATION D'UN ADN

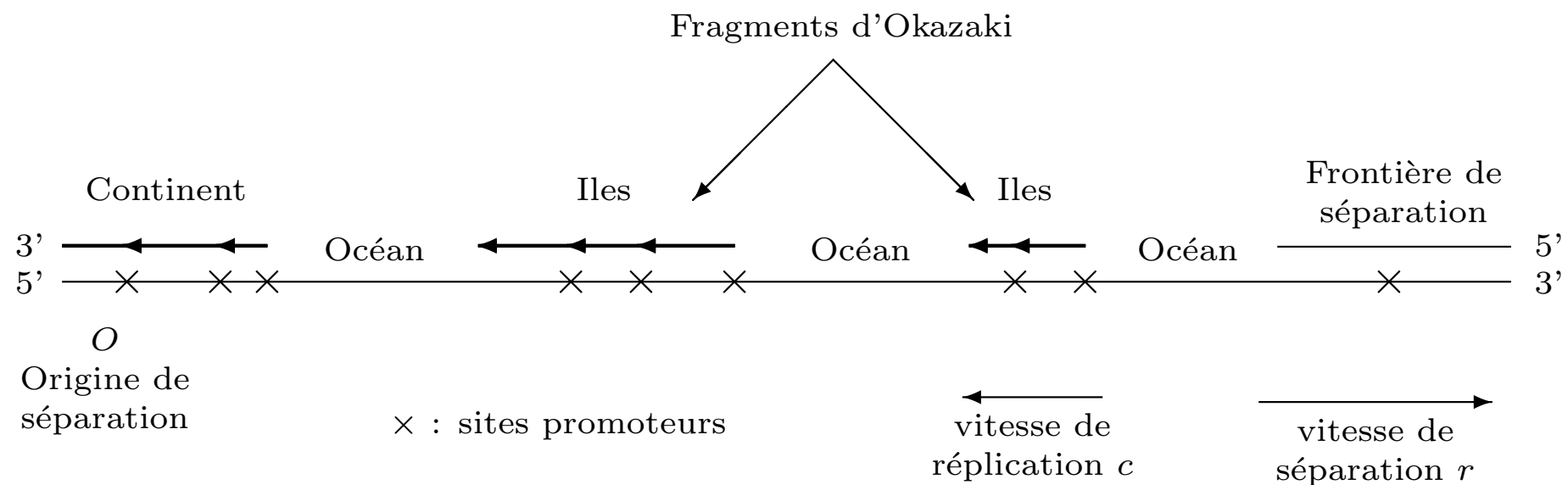
Les deux brins sont répliqués à l'aide d'une ADN polymérase.

- brin précoce : réPLICATION continue dans le sens de la séparation ;
- brin retardataire : réPLICATION discontinue dans le sens contraire de la séparation → fragments d'Okazaki (1968).



Constitution du brin retardataire

- un brin (le continent) obtenu par concaténation depuis l'origine de tous les fragments qui sont liés à leurs voisins de gauche ;
- les segments restants qui ne sont pas encore reliés au continent, ce sont les fragments d'Okazaki (les îles). Les interstices entre ces fragments constituent l'océan.



Modèle probabiliste de Cowan & Chiu

Les sites promoteurs sont répartis selon un processus de Poisson spatial d'intensité μ , ou encore un processus de Poisson temporel d'intensité $\lambda = r\mu$.

Quelques v.a. intéressantes

- N_t : nombre de fragments d'Okazaki existant à l'instant t ;
- L_t : longueur totale des interstices entre les fragments d'Okazaki à l'instant t ;
- D_t : distance entre la frontière de séparation et l'extrémité droite du continent à l'instant t .

Quelques résultats

1994 Cowan & Chiu (J. Appl. Probab.) : $\mathbb{E}(N_\infty) = \frac{r}{c}$, $\mathbb{E}(L_\infty) = \frac{r(r+c)}{\lambda c}$.

2000 Piau (J. Appl. Probab.) : $\mathbb{E}(D_\infty) = \frac{r+c}{\lambda} \sum_{n=1}^{\infty} \sigma(n) \left(\frac{r}{r+c}\right)^n$ où $\sigma(n)$ est le nombre de diviseurs de n .

2004 Lachal (Ann. Appl. Probab. et CRAS):

$$\left\{ \begin{array}{lcl} \mathbb{E}(e^{-pN_\infty}) & = & \prod_{n=1}^{\infty} \left[1 - (1 - e^{-p}) \left(\frac{r}{r+c} \right)^n \right], \\ \mathbb{E}(e^{-pL_\infty}) & = & \prod_{n=0}^{\infty} \left[1 + \frac{rp}{\lambda} \left(\frac{r}{r+c} \right)^n \right]^{-1}, \\ \mathbb{E}(e^{-pD_\infty}) & = & \prod_{n=1}^{\infty} \left[1 + \frac{rp}{\lambda} \frac{\left(\frac{r}{r+c} \right)^{n-1}}{1 - \left(\frac{r}{r+c} \right)^n} \right]^{-1}. \end{array} \right.$$

2 Phylogénie

Évolution temporelle d'un nucléotide fixé sur un brin d'ADN ou d'ARN :

Modèle de chaîne de Markov $(X_t)_{t \geq 0}$ sur l'espace d'états $\mathcal{A} = \{A, G, C, T\}$ pour les ADN, $\mathcal{A} = \{A, G, C, U\}$ pour les ARN.

A = adénine, C = cytosine, G = guanine, T = thymine, U = uracile

La chaîne $(X_t)_{t \geq 0}$ est caractérisée par

- ses probabilités de transition (matrice de transition) :

$$\forall a, b \in \mathcal{A}, P_{ab}(t) = \mathbb{P}(X_{s+t} = b | X_s = a) \quad \rightarrow \quad \mathbf{P}(t) = (P_{ab}(t))_{a,b \in \mathcal{A}}$$

- sa loi initiale (vecteur probabilité, matrice-ligne) :

$$\forall a \in \mathcal{A}, \pi_a(0) = \mathbb{P}(X_0 = a) \quad \rightarrow \quad \boldsymbol{\pi}(0) = (\pi_A(0), \pi_G(0), \pi_C(0), \pi_T(0))$$

et alors, en posant

$$\forall a \in \mathcal{A}, \pi_a(t) = \mathbb{P}(X_t = a) \quad \rightarrow \quad \boldsymbol{\pi}(t) = (\pi_A(t), \pi_G(t), \pi_C(t), \pi_T(t))$$

on a

$$\boxed{\forall s, t, 0 \leq s \leq t, \boldsymbol{\pi}(t) = \boldsymbol{\pi}(s)\mathbf{P}(t-s)}$$

Propriété de Markov :

$$\forall s, t \geqslant 0, \quad \mathbf{P}(s)\mathbf{P}(t) = \mathbf{P}(s+t) \implies (\mathbf{P}(t))_{t \geqslant 0} \text{ semi-groupe}$$

Générateur infinitésimal :

$$\mathbf{A} = \lim_{\varepsilon \rightarrow 0^+} \frac{1}{\varepsilon} (\mathbf{P}(\varepsilon) - I) = \mathbf{P}'(0) \implies \mathbf{P}(t) = \exp(t\mathbf{A})$$

Pour les modèles phylogénétiques :

$$P_{ab}(\varepsilon) = \mathbb{P}(X_{t+\varepsilon} = b | X_t = a) = \begin{cases} \pi_{ab} \varepsilon + o(\varepsilon) & \text{si } a \neq b \\ 1 - \sum_{c \in \mathcal{A} \setminus \{a\}} \pi_{ac} \varepsilon + o(\varepsilon) & \text{si } a = b \end{cases}$$

→ paramètres phylogénétiques (taux de transition) :

$$\mathbf{A} = \left(\begin{array}{cccc} \dots & \pi_{AG} & \pi_{AC} & \pi_{AT} \\ \pi_{GA} & \dots & \pi_{GC} & \pi_{GT} \\ \pi_{CA} & \pi_{CG} & \dots & \pi_{CT} \\ \pi_{TA} & \pi_{TG} & \pi_{TC} & \dots \end{array} \right) \begin{matrix} A \\ G \\ C \\ T \end{matrix} \quad \dots : \text{somme sur chaque ligne} = 0$$

Problèmes du probabiliste

- détermination explicite du semi-groupe $\mathbf{P}(t) = \exp(t\mathbf{A})$

- recherche d'une loi limite $\boldsymbol{\pi}_\infty$ (ergodicité) :

$$\boldsymbol{\pi}(t) \xrightarrow[t \rightarrow +\infty]{} \boldsymbol{\pi}_\infty$$

- recherche d'une loi invariante $\boldsymbol{\pi}_{\text{inv}}$ (régime stationnaire) :

$$\forall t \geq 0, \boldsymbol{\pi}(t) = \boldsymbol{\pi}_{\text{inv}} \mathbf{P}(t) = \boldsymbol{\pi}_{\text{inv}} \iff \boxed{\boldsymbol{\pi}_{\text{inv}} \mathbf{A} = 0}$$

- recherche d'une loi réversible $\boldsymbol{\pi}_{\text{rév}}$ (retournement du temps) :

$$\forall a, b \in \mathcal{A}, \forall s, t, 0 \leq s \leq t, \quad \mathbb{P}(X_s = a, X_t = b) = \mathbb{P}(X_s = b, X_t = a)$$

$$\iff \boxed{\mathbf{D}_{\boldsymbol{\pi}_{\text{rév}}} \mathbf{A} = {}^t \mathbf{A} \mathbf{D}_{\boldsymbol{\pi}_{\text{rév}}}}$$

\mathbf{D}_π : matrice diagonale de termes diagonaux $\pi_a, a \in \mathcal{A}$

Problèmes du biologiste

- datation de l'origine de l'espèce :
 - probabilité de mutation $r(t) = \mathbb{P}(X_t \neq X_0)$
 - taux de mutation $\kappa = \lim_{\varepsilon \rightarrow 0^+} \frac{1}{\varepsilon} \mathbb{P}(X_{t+\varepsilon} \neq X_t) = r'(0)$
- datation de la divergence des espèces :
 - probabilité de mutation $\rho(t) = \mathbb{P}(X_t \neq Y_t)$ à partir de deux lignées $(X_t)_{t \geq 0}$ et $(Y_t)_{t \geq 0}$ issues d'une même souche ($X_0 = Y_0$)
 - si la chaîne est réversible : $\rho(t) = r(2t)$
 - paramètre d'évolution : $D(t) = 2\kappa t$
- estimation de paramètres (statistiques)

Modèle de Jukes-Cantor (1969)

- taux de transitions constants (!) \rightarrow générateur infinitésimal :

$$A_{ab} = \alpha \text{ si } a \neq b \quad \longrightarrow \quad A = \begin{pmatrix} -3\alpha & \alpha & \alpha & \alpha \\ \alpha & -3\alpha & \alpha & \alpha \\ \alpha & \alpha & -3\alpha & \alpha \\ \alpha & \alpha & \alpha & -3\alpha \end{pmatrix}$$

- semi-groupe :

$$P(t) = \frac{1}{4} \begin{pmatrix} 1 + 3e^{-4\alpha t} & 1 - e^{-4\alpha t} & 1 - e^{-4\alpha t} & 1 - e^{-4\alpha t} \\ 1 - e^{-4\alpha t} & 1 + 3e^{-4\alpha t} & 1 - e^{-4\alpha t} & 1 - e^{-4\alpha t} \\ 1 - e^{-4\alpha t} & 1 - e^{-4\alpha t} & 1 + 3e^{-4\alpha t} & 1 - e^{-4\alpha t} \\ 1 - e^{-4\alpha t} & 1 - e^{-4\alpha t} & 1 - e^{-4\alpha t} & 1 + 3e^{-4\alpha t} \end{pmatrix}$$

- lois limite, invariante, réversible : $\pi_\infty = \pi_{\text{inv}} = \pi_{\text{rév}} = \left(\frac{1}{4}, \frac{1}{4}, \frac{1}{4}, \frac{1}{4}\right)$
- probabilité de mutation : $\rho(t) = \frac{3}{4} (1 - e^{-8\alpha t})$
- paramètre d'évolution : $D(t) = 2 \times (3\alpha t) = -\frac{3}{4} \ln \left(1 - \frac{4}{3} \rho(t)\right)$

Modèles de Kimura (1980)

- distinction de deux types de substitutions entre les bases :
 - les transitions : substitutions internes entre purines $A \longleftrightarrow G$ et substitutions internes entre pyrimidines $C \longleftrightarrow T$ (taux α) ;
 - les transversions : substitutions externes entre purines et pyrimidines $\{A, G\} \longleftrightarrow \{C, T\}$ (taux β et γ).

En général, les transitions sont plus fréquentes que les transversions.

- générateur infinitésimal :

$$A_{ab} = \begin{cases} \alpha & \text{si } a \longleftrightarrow b \text{ est une transition } A \longleftrightarrow G \text{ et } C \longleftrightarrow T \\ \beta & \text{si } a \longleftrightarrow b \text{ est une transversion } A \longleftrightarrow C \text{ et } G \longleftrightarrow T \\ \gamma & \text{si } a \longleftrightarrow b \text{ est une transversion } A \longleftrightarrow T \text{ et } G \longleftrightarrow C \end{cases}$$

$$\mathbf{A} = \begin{pmatrix} -\alpha - \beta - \gamma & \alpha & \beta & \gamma \\ \alpha & -\alpha - \beta - \gamma & \gamma & \beta \\ \beta & \gamma & -\alpha - \beta - \gamma & \alpha \\ \gamma & \beta & \alpha & -\alpha - \beta - \gamma \end{pmatrix}$$

Modèle de Hasegawa-Kishino-Yano (1985)

- générateur infinitésimal :

$$A = \begin{pmatrix} -\alpha\pi_G - \beta\pi_Y & \alpha\pi_G & \beta\pi_C & \beta\pi_T \\ \alpha\pi_A & -\alpha\pi_A - \beta\pi_Y & \beta\pi_C & \beta\pi_T \\ \beta\pi_A & \beta\pi_G & -\alpha\pi_T - \beta\pi_R & \alpha\pi_T \\ \beta\pi_A & \beta\pi_G & \alpha\pi_C & -\alpha\pi_C - \beta\pi_R \end{pmatrix}$$

avec

$$\pi_R = \pi_A + \pi_G, \quad \pi_Y = \pi_C + \pi_T$$

- loi limite (et réversible) :

$$\boldsymbol{\pi} = (\pi_A, \pi_G, \pi_C, \pi_T)$$

3 Séquences biologiques

Alignement de séquences biologiques, recherche de motifs, de région codante (exon), non-codante (intron), hydrophobe, etc.

- Séquence \mathbf{A} : suite de v.a. $(A_n)_{n \geq 1}$ à valeurs dans un alphabet \mathcal{A} .

$\mathcal{A} = \{A, C, G, T\}$ pour les ADN

$\mathcal{A} = \{A, C, G, U\}$ pour les ARN

$\mathcal{A} = \{A, C, D, E, F, G, H, I, K, L, M, N, P, Q, R, S, T, V, W, Y\}$ acides aminés

- Fonction score $s : \mathcal{A} \longrightarrow \mathbb{R}$,
$$\begin{cases} S(\mathbf{A}) &= \sum_{k=1}^n s(A_k) \text{ score global} \\ H(\mathbf{A}) &= \max_{1 \leq i \leq j \leq n} \sum_{k=i}^j s(A_k) \text{ score local} \end{cases}$$

- **Problème** : loi de probabilité des v.a. $S(\mathbf{A})$ et $H(\mathbf{A})$?

On pose $X_n = s(A_n)$ et $H_n = \max_{0 \leq i \leq j \leq n} \sum_{k=i}^j X_k$.

1987 Waterman, Gordon & Arratia :

$$\left\{ \begin{array}{ll} \text{si } \mathbb{E}(X) > 0, & \frac{H_n}{n} \xrightarrow[n \rightarrow \infty]{\text{p.s.}} \mathbb{E}(X), \\ \text{si } \mathbb{E}(X) = 0, & \frac{H_n}{\sqrt{n}} \xrightarrow[n \rightarrow \infty]{\text{p.s.}} C \quad \text{pour un certain } C > 0, \\ \text{si } \mathbb{E}(X) < 0, & \frac{H_n}{\ln n} \xrightarrow[n \rightarrow \infty]{\text{p.s.}} \frac{1}{\lambda}, \quad \lambda > 0 \text{ tel que } \mathbb{E}[e^{\lambda X}] = 1. \end{array} \right.$$

1990 Karlin & Altschul :

$$H_n - \frac{\ln n}{\lambda} \xrightarrow{\text{loi}} \text{loi de Gumbel, i.e. } \mathbb{P}(H_n \leq \frac{\ln n}{\lambda} + x) \xrightarrow[n \rightarrow \infty]{} e^{-K_H e^{-\lambda x}};$$

→ résultat implémenté dans les logiciels d'alignement BLAST et FASTA